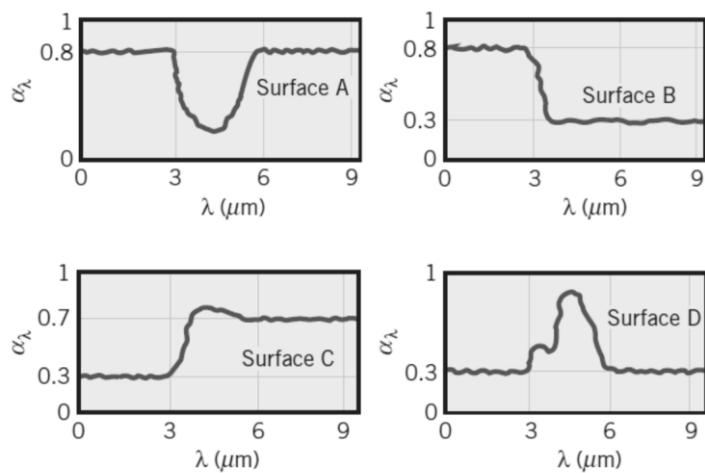


1. Considere um revestimento para telhados com emissividade de 5% para comprimentos de onda até $2.5\mu\text{m}$ e 75% para comprimentos de onda superior.

- Determine a absorptividade do revestimento para o espectro solar [3]
- Determine a emissividade do revestimento para o espectro de emissão do próprio edifício (considere uma temperatura média de 23°C) [3]
- Discuta o impacto que um revestimento deste tipo poderia ter nas necessidades de energia para climatização dos edifícios durante o verão e durante o inverno? [3]
- Compare o desempenho de um telhado revestido com este material com um telhado tradicional (telhas cerâmicas), um telhado branco e um telhado coberto de vegetação, com as propriedades indicadas na tabela. [3]

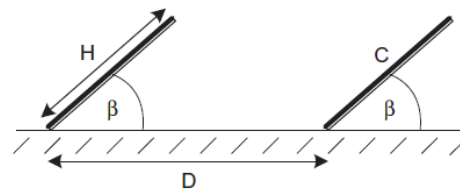
	Emissividade	Refletividade
Telhas cerâmicas	0.85	0.25
Telhas brancas	0.90	0.80
Vegetação	0.95	0.20

2. Qual destas superfícies, a 300K , pode ser considerada como uma superfície cinzenta para o espectro solar? Justifique. [3]



3. O fator de forma para uma central solar com painéis em linhas, conforme a figura, é dado por

$$F_{C \rightarrow sky} = \frac{H + D - \sqrt{(H \cdot \sin \beta)^2 + (D - H \cdot \cos \beta)^2}}{2 \cdot H}$$



- Mostre que para inclinação nula, se recupera o fator de forma para uma superfície horizontal. [2]
- Determine a distância mínima entre módulos, para módulos com 1m de altura (H) e uma inclinação de 45° que garanta um fator de forma de pelo menos 50%. [3]

Teste de Radiação e Energia Solar

λT ($\mu\text{m} \cdot \text{K}$)	$F_{(0 \rightarrow \lambda)}$	$I_{\lambda, b}(\lambda, T)/\sigma T^5$ ($\mu\text{m} \cdot \text{K} \cdot \text{sr}$) ⁻¹	$\frac{I_{\lambda, b}(\lambda, T)}{I_{\lambda, b}(\lambda_{\text{max}}, T)}$
200	0.000000	0.375034×10^{-27}	0.000000
400	0.000000	0.490335×10^{-13}	0.000000
600	0.000000	0.104046×10^{-8}	0.000014
800	0.000016	0.991126×10^{-7}	0.001372
1,000	0.000321	0.118505×10^{-5}	0.016406
1,200	0.002134	0.523927×10^{-5}	0.072534
1,400	0.007790	0.134411×10^{-4}	0.186082
1,600	0.019718	0.249130	0.344904
1,800	0.039341	0.375568	0.519949
2,000	0.066728	0.493432	0.683123
2,200	0.100888	0.589649×10^{-4}	0.816329
2,400	0.140256	0.658866	0.912155
2,600	0.183120	0.701292	0.970891
2,800	0.227897	0.720239	0.997123
2,898	0.250108	0.722318×10^{-4}	1.000000
3,000	0.273232	0.720254×10^{-4}	0.997143
3,200	0.318102	0.705974	0.977373
3,400	0.361735	0.681544	0.943551
3,600	0.403607	0.650396	0.900429
3,800	0.443382	0.615225×10^{-4}	0.851737
4,000	0.480877	0.578064	0.800291
4,200	0.516014	0.540394	0.748139
4,400	0.548796	0.503253	0.696720
4,600	0.579280	0.467343	0.647004
4,800	0.607559	0.433109	0.599610
5,000	0.633747	0.400813	0.554898
5,200	0.658970	0.370580×10^{-4}	0.513043
5,400	0.680360	0.342445	0.474092
5,600	0.701046	0.316376	0.438002
5,800	0.720158	0.292301	0.404671
6,000	0.737818	0.270121	0.373965
6,200	0.754140	0.249723×10^{-4}	0.345724
6,400	0.769234	0.230985	0.319783
6,600	0.783199	0.213786	0.295973
6,800	0.796129	0.198008	0.274128
7,000	0.808109	0.183534	0.254090
7,200	0.819217	0.170256×10^{-4}	0.235708
7,400	0.829527	0.158073	0.218842
7,600	0.839102	0.146891	0.203360
7,800	0.848005	0.136621	0.189143
8,000	0.856288	0.127185	0.176079
8,500	0.874608	0.106772×10^{-4}	0.147819
9,000	0.890029	0.901463×10^{-5}	0.124801
9,500	0.903085	0.765338	0.105956
10,000	0.914199	0.653279×10^{-5}	0.090442
10,500	0.923710	0.560522	0.077600
11,000	0.931890	0.483321	0.066913
11,500	0.939959	0.418725	0.057970
12,000	0.945098	0.364394×10^{-5}	0.050448
13,000	0.955139	0.279457	0.038689
14,000	0.962898	0.217641	0.030131
15,000	0.969981	0.171866×10^{-5}	0.023794
16,000	0.973814	0.137429	0.019026
18,000	0.980860	0.908240×10^{-6}	0.012574
20,000	0.985602	0.623310	0.008629